

# Funciones zeta en capas esféricas con potenciales suaves

Pedro Morales-Almazán

Department of Mathematics  
The University of Texas at Austin  
pmorales@math.utexas.edu

Encuentro Virtual, 10 de junio de 2015

THE UNIVERSITY OF  
**TEXAS**  
— AT AUSTIN —





*“Si se encontrara un contraejemplo para la hipótesis de Riemann, habría una pregunta que aún persistiría: ¿Cómo puede ser que la función zeta de Riemann reproduce tan fielmente un sistema cuántico sin de hecho serlo?”*

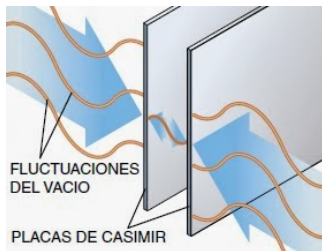
*“Si se encontrara un contraejemplo para la hipótesis de Riemann, habría una pregunta que aún persistiría: ¿ Cómo puede ser que la función zeta de Riemann reproduce tan fielmente un sistema cuántico sin de hecho serlo?”*

Sir M.V. Berry

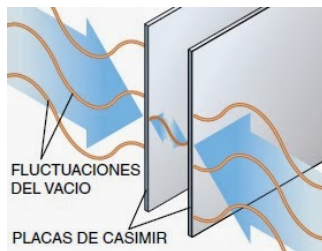
## *Primer Acto*

*Primer Acto*  
Casimir y su efecto

# El efecto Casimir



# El efecto Casimir



## Frecuencias

Fuera: Fluctuaciones de vacío de cualquier longitud de onda

Dentro: Multiplos enteros



# El efecto Casimir

## Fuerza Casimir

La diferencia de presiones genera una fuerza atractiva entre ambas placas

$$F = -\frac{\hbar c \pi^2}{240 a^4}$$

donde  $a$  es la separación entre placas.

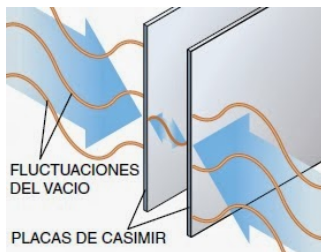
# El efecto Casimir

Energía en la cavidad

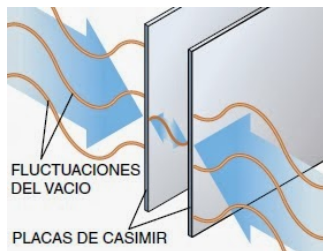
$$E = \frac{1}{2} \sum_n E_n$$

donde  $E_n$  es la energía de la  $n$ -ésima onda estacionaria.

# El efecto Casimir



# El efecto Casimir



$$E = \frac{1}{2} \sum_n E_n$$

# El efecto Casimir

## Problemas

$$E = \frac{1}{2} \sum_n E_n$$

¡Es una expresión divergente en la mayoría de los casos!

## *Segundo Acto*

*Segundo Acto*  
Las zetas crecen en el bosque

# Función zeta

Ecuación diferencial

$$E = \frac{1}{2} \sum_n E_n$$



# Función zeta

## Ecuación diferencial

$$E = \frac{1}{2} \sum_n E_n$$

$$E_n \sim \omega_n = \lambda_n^{1/2}$$

# Función zeta

Ecuación diferencial

$$E = \frac{1}{2} \sum_n E_n$$

$$E_n \sim \omega_n = \lambda_n^{1/2}$$

con

$$-\frac{d^2}{dx^2} \phi(x) = \lambda \phi(x)$$

# Función zeta

## Ecuación diferencial

$$E = \frac{1}{2} \sum_n E_n$$

$$E_n \sim \omega_n = \lambda_n^{1/2}$$

con

$$-\frac{d^2}{dx^2} \phi(x) = \lambda \phi(x)$$

en  $\mathbb{R}^3$  con condiciones de Dirichlet  $\phi(0) = 0$  y  $\phi(a) = 0$ .

# Función zeta

$$E \sim \sum_{n=1}^{\infty} \lambda_n^{1/2}$$

# Función zeta

$$E \sim \sum_{n=1}^{\infty} \lambda_n^{1/2} \quad \textit{Diverge}$$

# Función zeta

$$E \sim \sum_{n=1}^{\infty} \lambda_n^{1/2} \quad \text{Diverge}$$

$$\zeta(s) = \sum_{n=1}^{\infty} \lambda_n^{-s}$$

# Función zeta

$$E \sim \sum_{n=1}^{\infty} \lambda_n^{1/2} \quad \text{Diverge}$$

$$\zeta(s) = \sum_{n=1}^{\infty} \lambda_n^{-s}, \quad \Re(s) > 3/2$$

# Función zeta

## Regularización por funciones zeta

Sea  $\mathcal{M}$  una variedad Riemanniana, con o sin frontera, de dimensión  $d$ , y sea  $P$  un operador diferencial sobre  $L^2(\mathcal{M})$ . Definimos

$$\zeta(s) = \sum_{\lambda \in \sigma(P)} \lambda^{-s}, \quad \Re(s) > d/2$$



# Función zeta

## Regularización por funciones zeta

Sea  $\mathcal{M}$  una variedad Riemanniana, con o sin frontera, de dimensión  $d$ , y sea  $P$  un operador diferencial sobre  $L^2(\mathcal{M})$ . Definimos

$$\zeta(s) = \sum_{\lambda \in \sigma(P)} \lambda^{-s}, \quad \Re(s) > d/2$$

## Continuación analítica

$\zeta(s)$  admite una continuación analítica a todo el plano complejo, salvo por polos simples en a lo sumo

$$s = d/2, (d-1)/2, \dots, 1/2, -(2l+1)/2, l \in \mathbb{N}.$$

# Función zeta

## Ejemplo

Sea  $\mathcal{M} = S^1$  y  $P = -\frac{d^2}{d\theta^2}$ ,



# Función zeta

## Ejemplo

Sea  $\mathcal{M} = S^1$  y  $P = -\frac{d^2}{d\theta^2}$ ,

$$-\frac{d^2}{d\theta^2}\phi(\theta) = \lambda\phi(\theta),$$

# Función zeta

## Ejemplo

Sea  $\mathcal{M} = S^1$  y  $P = -\frac{d^2}{d\theta^2}$ ,

$$-\frac{d^2}{d\theta^2}\phi(\theta) = \lambda\phi(\theta),$$

$$\phi(\theta) = A\cos(\sqrt{\lambda}\theta) + B\sin(\sqrt{\lambda}\theta),$$

# Función zeta

## Ejemplo

Sea  $\mathcal{M} = S^1$  y  $P = -\frac{d^2}{d\theta^2}$ ,

$$-\frac{d^2}{d\theta^2}\phi(\theta) = \lambda\phi(\theta),$$

$$\phi(\theta) = A\cos(\sqrt{\lambda}\theta) + B\sin(\sqrt{\lambda}\theta),$$

$$\sqrt{\lambda_n} = n, \quad n \in \mathbb{N}$$

# Función zeta

## Ejemplo

Sea  $\mathcal{M} = S^1$  y  $P = -\frac{d^2}{d\theta^2}$ ,

$$-\frac{d^2}{d\theta^2}\phi(\theta) = \lambda\phi(\theta),$$

$$\phi(\theta) = A\cos(\sqrt{\lambda}\theta) + B\sin(\sqrt{\lambda}\theta),$$

$$\sqrt{\lambda_n} = n, \quad n \in \mathbb{N}$$

$$\zeta(s) = \sum_{n=1}^{\infty} n^{-2s} = \zeta_R(2s).$$

# Función zeta

## Regularización de función zeta

# Función zeta

## Regularización de función zeta

Energía Casimir



# Función zeta

## Regularización de función zeta

$$\text{Energía Casimir} \sim \zeta(-1/2)$$

# Función zeta

## Regularización de función zeta

$$\text{Energía Casimir} \sim \zeta(-1/2)$$

Determinante funcional

# Función zeta

## Regularización de función zeta

$$\text{Energía Casimir} \sim \zeta(-1/2)$$

$$\text{Determinante funcional} = \exp \zeta'(0)$$

# Función zeta

## Regularización de función zeta

$$\text{Energía Casimir} \sim \zeta(-1/2)$$

$$\text{Determinante funcional} = \exp \zeta'(0)$$

## Ejemplos

# Función zeta

## Regularización de función zeta

$$\text{Energía Casimir} \sim \zeta(-1/2)$$

$$\text{Determinante funcional} = \exp \zeta'(0)$$

## Ejemplos

$$1 + 2 + 3 + 4 + \dots$$

# Función zeta

## Regularización de función zeta

$$\text{Energía Casimir} \sim \zeta(-1/2)$$

$$\text{Determinante funcional} = \exp \zeta'(0)$$

## Ejemplos

$$1 + 2 + 3 + 4 + \dots \equiv \zeta(-1)$$

# Función zeta

## Regularización de función zeta

$$\text{Energía Casimir} \sim \zeta(-1/2)$$

$$\text{Determinante funcional} = \exp \zeta'(0)$$

## Ejemplos

$$1 + 2 + 3 + 4 + \dots \equiv \zeta(-1) = -\frac{1}{12}$$

# Función zeta

## Regularización de función zeta

$$\text{Energía Casimir} \sim \zeta(-1/2)$$

$$\text{Determinante funcional} = \exp \zeta'(0)$$

## Ejemplos

$$1 + 2 + 3 + 4 + \dots \equiv \zeta(-1) = -\frac{1}{12}$$

$$1 + 4 + 9 + 16 + \dots$$



# Función zeta

## Regularización de función zeta

$$\text{Energía Casimir} \sim \zeta(-1/2)$$

$$\text{Determinante funcional} = \exp \zeta'(0)$$

## Ejemplos

$$1 + 2 + 3 + 4 + \dots \equiv \zeta(-1) = -\frac{1}{12}$$

$$1 + 4 + 9 + 16 + \dots \equiv \zeta(-2)$$

# Función zeta

## Regularización de función zeta

$$\text{Energía Casimir} \sim \zeta(-1/2)$$

$$\text{Determinante funcional} = \exp \zeta'(0)$$

## Ejemplos

$$1 + 2 + 3 + 4 + \dots \equiv \zeta(-1) = -\frac{1}{12}$$

$$1 + 4 + 9 + 16 + \dots \equiv \zeta(-2) = 0$$

## *Tercer Acto*

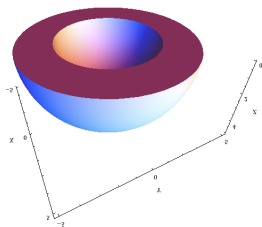
*Tercer Acto*  
¡Santas capas esféricas Batman!

# Capas esféricas

$$\mathcal{M} = \bar{B}_c^d(0) \setminus B_b^d(0), \quad P = -\Delta + V(\rho), \quad \text{Dirichlet en } \rho = b, c$$

# Capas esféricas

$$\mathcal{M} = \bar{B}_c^d(0) \setminus B_b^d(0), \quad P = -\Delta + V(\rho), \quad \text{Dirichlet en } \rho = b, c$$



# Capas esféricas

## Función zeta

$$P\phi = \lambda\phi$$

# Capas esféricas

## Función zeta

$$P\phi = \lambda\phi$$

$$\zeta(s) = \sum_{\lambda \in \sigma(P)} \lambda^{-s}, \quad \Re(s) > d/2$$



# Capas esféricas

## Función zeta

$$P\phi = \lambda\phi$$

$$\zeta(s) = \sum_{\lambda \in \sigma(P)} \lambda^{-s}, \quad \Re(s) > d/2$$

Se necesita saber explícitamente el espectro de  $P$

# Capas esféricas

## Función zeta

$$P\phi = \lambda\phi$$

$$\zeta(s) = \sum_{\lambda \in \sigma(P)} \lambda^{-s}, \quad \Re(s) > d/2$$

Se necesita saber explícitamente el espectro de  $P$

## Teorema del residuo

$$\zeta(s) = \frac{1}{2\pi i} \int_{\gamma} d\lambda f(\lambda)$$

$f(\lambda)$  tiene polos en los valores propios de  $P$  con residuos  $\lambda^{-s}$ .

# Capas esféricas

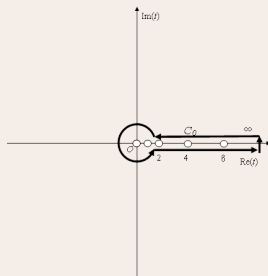
## Función zeta

$$\zeta(s) = \frac{1}{2\pi i} \int_{\gamma} d\lambda \lambda^{-s} \frac{d}{d\lambda} \log F(\lambda)$$

# Capas esféricas

## Función zeta

$$\zeta(s) = \frac{1}{2\pi i} \int_{\gamma} d\lambda \lambda^{-s} \frac{d}{d\lambda} \log F(\lambda)$$



# Capas esféricas

## Continuación analítica

Restar el comportamiento en el infinito y sumarlo de nuevo

$$\zeta(s) = \frac{1}{2\pi i} \int_{\gamma} d\lambda \lambda^{-s} \frac{d}{d\lambda} \log F(\lambda)$$

# Capas esféricas

## Continuación analítica

Restar el comportamiento en el infinito y sumarlo de nuevo

$$\zeta(s) = \frac{1}{2\pi i} \int_{\gamma} d\lambda \lambda^{-s} \frac{d}{d\lambda} \log F(\lambda) - \clubsuit$$

# Capas esféricas

## Continuación analítica

Restar el comportamiento en el infinito y sumarlo de nuevo

$$\zeta(s) = \frac{1}{2\pi i} \int_{\gamma} d\lambda \lambda^{-s} \frac{d}{d\lambda} \log F(\lambda) - \clubsuit$$
$$+ \frac{1}{2\pi i} \int_{\gamma} d\lambda \clubsuit$$

# Capas esféricas

## Continuación analítica

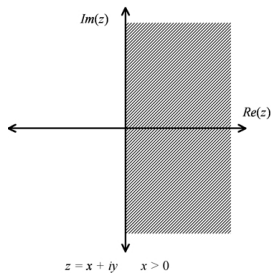
Restar el comportamiento en el infinito y sumarlo de nuevo

$$\zeta(s) = \frac{1}{2\pi i} \int_{\gamma} d\lambda \lambda^{-s} \frac{d}{d\lambda} \log F(\lambda) - \clubsuit$$
$$+ \frac{1}{2\pi i} \int_{\gamma} d\lambda \clubsuit$$

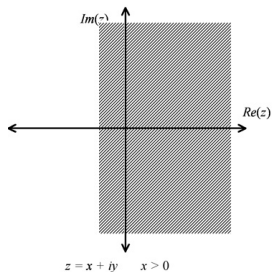
$\clubsuit$  es el comportamiento asintótico del integrando cuando  $\lambda \rightarrow \infty$ .  
Cada orden asintótico aumenta en  $1/2$  la banda de convergencia de  $\zeta(s)$ .



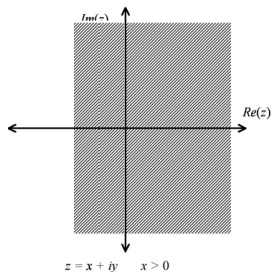
# Capas esféricas



# Capas esféricas



# Capas esféricas



# Capas esféricas

## Expansión asintótica

$F(\lambda)$  está dada por las condiciones de Dirichlet,

$$F(\lambda) = \phi_\lambda(c) = 0.$$

♣ se puede hallar utilizando WKB

# Capas esféricas

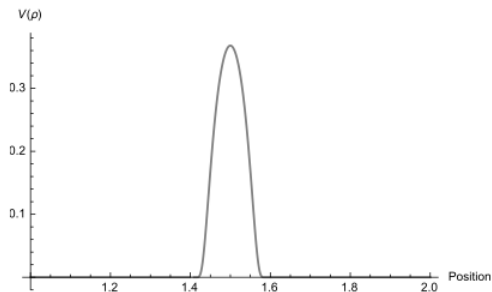
## Energía Casimir

# Capas esféricas

## Energía Casimir

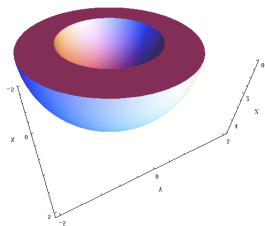
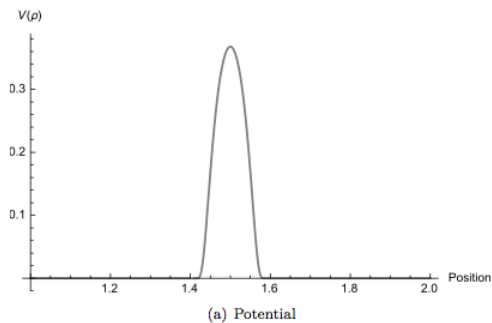
$$\begin{aligned} E_{Cas}^{\text{ren}} = & -\frac{1}{2\pi} \int_0^1 d\lambda \lambda \frac{d}{d\lambda} \log R_0(c; \lambda) \\ & - \frac{1}{2\pi} \int_1^\infty d\lambda \lambda \frac{d}{d\lambda} \left( \log R_0(c; \lambda) + \log(2\lambda) + S_1(b)\lambda^{-2} - \sum_{i=-1}^2 \lambda^{-i} \int_b^c d\rho S_i(\rho) \right) \\ & - \frac{1}{\pi} \sum_{\nu=1}^\infty \nu \int_0^\infty d\xi \xi \frac{d}{d\xi} \left( \log R_\nu(c; \nu\xi) + \log(2\nu\tilde{S}_{-1}(b)) + \frac{\tilde{S}_1(b)}{\tilde{S}_{-1}(b)} \nu^{-2} - \sum_{i=-1}^2 \nu^{-i} \int_b^c d\rho \tilde{S}_i(\rho) \right) \\ & + \frac{1}{4\pi}(c-b) - \frac{1}{2\pi} - \frac{1}{16\pi} \left( \frac{\log(2c\pi)}{c} - \frac{\log(2b\pi)}{b} + \frac{\pi \log(c)}{16c} + \frac{\pi \log(b)}{16b} \right) \\ & + \frac{1}{256} \left( \frac{7}{3} - \gamma \right) \left( \frac{1}{c} + \frac{1}{b} \right) + \frac{1}{16\pi} \left( \frac{8}{3} - \log(2) + \frac{2\zeta_R(3)}{\pi^2} \right) \left( \frac{1}{c} - \frac{1}{b} \right) \\ & + \frac{1}{16\pi} \left( \frac{1}{c^2} + \frac{1}{b^2} \right) - \frac{1}{4\pi} \int_b^c d\rho (\log(4\pi\rho) - 1) V(\rho). \quad (41) \end{aligned}$$

# Capas esféricas



(a) Potential

# Capas esféricas

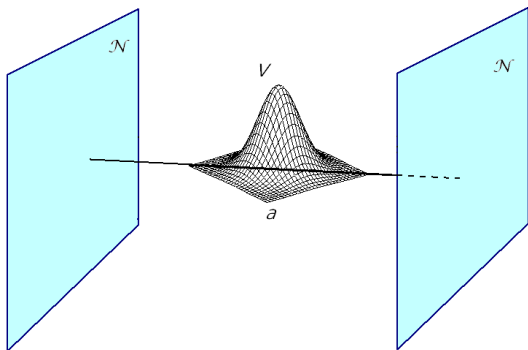


THE UNIVERSITY OF  
**TEXAS**  
— AT AUSTIN —

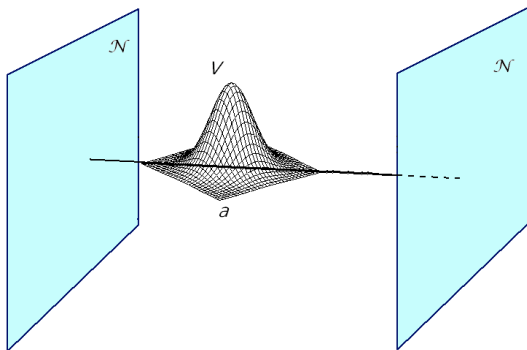




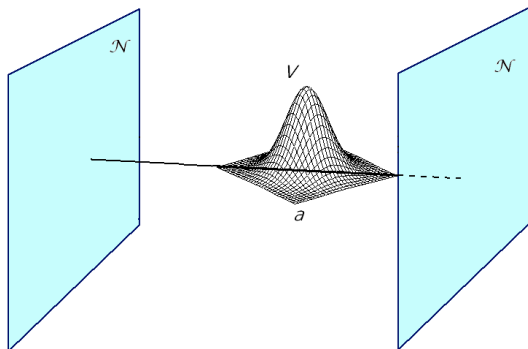
# Capas esféricas



# Capas esféricas



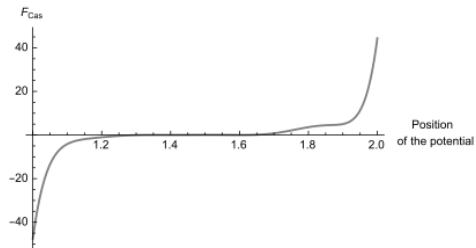
# Capas esféricas



# Capas esféricas

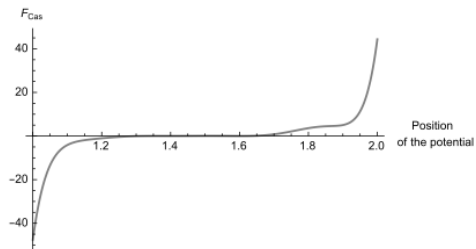
$$F_{Cas} = -\frac{1}{2\pi} \int_0^\infty d\lambda \frac{\partial}{\partial a} \log R_0(c; i\lambda) \\ - \frac{1}{\pi} \sum_{\nu=1}^{\infty} \int_0^\infty d\xi \frac{\partial}{\partial a} \left( \nu \log R_\nu(c; i\nu\xi) - \int_b^c d\rho \tilde{S}_1(\rho) \right) \\ + \frac{1}{4\pi} \int_b^c d\rho \log(\rho) \frac{\partial}{\partial a} V(\rho). \quad (49)$$

# Capas esféricas



(b) Casimir force

# Capas esféricas



(b) Casimir force

Atraído a la pared más cercana

# Resumen

# Resumen

- 1 El efecto Casimir es apreciable a escalas muy pequeñas



# Resumen

- 1 El efecto Casimir es apreciable a escalas muy pequeñas
- 2 El efecto Casimir depende fuertemente de la geometría

# Resumen

- 1 El efecto Casimir es apreciable a escalas muy pequeñas
- 2 El efecto Casimir depende fuertemente de la geometría
- 3 Las funciones zeta admiten una continuación analítica

# Resumen

- 1 El efecto Casimir es apreciable a escalas muy pequeñas
- 2 El efecto Casimir depende fuertemente de la geometría
- 3 Las funciones zeta admiten una continuación analítica
- 4 Las funciones zeta dan un método de regularización

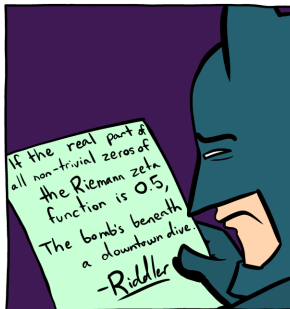
# Resumen

- 1 El efecto Casimir es apreciable a escalas muy pequeñas
- 2 El efecto Casimir depende fuertemente de la geometría
- 3 Las funciones zeta admiten una continuación analítica
- 4 Las funciones zeta dan un método de regularización
- 5 El estudio de capas esféricas se realiza estudiando la ecuación de valor propio y su comportamiento asintótico

# Resumen

- 1 El efecto Casimir es apreciable a escalas muy pequeñas
- 2 El efecto Casimir depende fuertemente de la geometría
- 3 Las funciones zeta admiten una continuación analítica
- 4 Las funciones zeta dan un método de regularización
- 5 El estudio de capas esféricas se realiza estudiando la ecuación de valor propio y su comportamiento asintótico
- 6 En el caso de 2 dimensiones, el potencial es atraído a la pared más cercana

# Preguntas



Fun Fact:  
Batman hasn't left his study in 10 years.

email: [pmorales@math.utexas.edu](mailto:pmorales@math.utexas.edu)  
twitter: @p3d40

THE UNIVERSITY OF  
**TEXAS**  
— AT AUSTIN —

